

Cálculo de la estructura electrónica de bandas

Ricardo López & Donaldo Garrido

Tecnológico de Monterrey, Monterrey, MX

E-mail: A01066515@itesm.mx, A01275416@itesm.mx

Junio, 2021

Resumen. Este documento es una reproducción de los resultados presentados por Pavelich y Masiglio, en su artículo llamado *Calculation of 2D electronic band structure using matrix mechanics* [1]. En este trabajo se comenzó por implementar el modelo de "Kronig-Penny 2D" con el propósito de obtener las estructuras de banda para una estructura con una red cristalina hexagonal, como el grafeno. Posteriormente, se utilizó el modelo de "moffin tin", un modelo más realista basado en fuerzas centrales, para comparar las estructuras de banda entre ambos modelos. Las estructuras de banda fueron generadas con un código desarrollado en Python, el cual es mostrado en este mismo trabajo.

1. Introduction

Una capa de grafeno puro, átomos de carbono unidos entre sí con una red hexagonal, es el "sistema físico de dos dimensiones por excelencia". Dichas capas pueden existir en distintas formas. Por ejemplo, varias capas apiladas de grafeno es lo que compone al grafito, los nanotubos de carbono son capas de grafeno envueltas por los fullerenos, que son pequeñas áreas de grafeno en una estructura aproximadamente esférica. Hasta 2004, se creía que una capa extendida de grafeno no era estable en contra de los efectos térmicos y otras fluctuaciones; incluso si eran estables, sería imposible aislarlos para estudiar sus propiedades. Sin embargo, en ese mismo año Andre Geim y sus colegas en la Universidad de Manchester en Reino Unido demostraron que ambas creencias eran falsas. Se discutía desde hace más de 60 años atrás que la estructura de la banda electrónica del grafeno, sería particularmente interesante [2]

Este trabajo reproduce los resultados de Pavelich y Masiglio mostrados en su artículo *Calculation of 2D electronic band structure using matrix mechanics* [1], por lo que cada una de las figuras presentadas fueron generadas con un código implementado en Python (el código se encuentra en la sección de apéndices). En dicho artículo, se generan estructuras de banda para un arreglo cuadrado "modelo 2D de Kronig-Penny", para un potencial de pozos circulares "muffin-tin" y pozos Gaussianos. Sin embargo, en el presente trabajo solo reproducimos los resultados para los dos primeros modelos mencionados, con esto se busca resaltar algunas de las propiedades electrónicas del grafeno (estructura con una red hexagonal).

2. Formalismo

Como base, se explora el formalismo matemático para estudiar la situación en una sola dimensión, para después proceder a un breve desarrollo del formalismo en dos dimensiones.

2.1. Unidimensional

Comenzamos con un potencial unidimensional $V(x)$ que satisface condiciones de frontera periódicas, con una periodicidad de ancho a . A continuación, introducimos la condición de Bloch:

$$\psi(x + a) = \psi(x) \quad (1)$$

Es conocido que las soluciones bases para esto, son ondas planas ortonormales:

$$\psi_n^0 = \sqrt{\frac{1}{a}} e^{i \frac{2\pi n}{a} x} \quad (2)$$

donde $n \in \mathbb{Z}$, y con energías (eigenvalores):

$$E_n^0 = 4 \left(\frac{n^2 \pi^2 \hbar^2}{2m_0 a^2} \right), \quad (3)$$

Y de donde definimos la unidad de energía como $E_{ISW} = \frac{\pi^2 \hbar^2}{2m_0 a^2}$.

Podemos introducir ahora el potencial de interez, y tratar de solucionar el problema con una estrategia matricial:

$$\sum_{m=1}^{\infty} H_{mn} c_m = E c_n, \quad (4)$$

donde tenemos el Hamiltoniano base

$$H_0 = -\frac{\hbar^2}{2m_0} \frac{d^2}{dx^2}. \quad (5)$$

Con lo que expandiendo el Hamiltoniano H_{mn} , obtenemos:

$$H_{mn} = \langle \psi_n^0 | (H_0 + V(x)) | \psi_m^0 \rangle \quad (6)$$

$$= \delta_{mn} E_n^0 + H_{nm}^V \quad (7)$$

Donde podemos usar cualquiera de las dos operaciones siguientes:

$$H_{nm}^V = \langle \psi_n^0 | V(x) | \psi_m^0 \rangle \quad (8)$$

$$= \frac{1}{a} \int_0^a e^{-i \frac{2\pi n}{a} x} V(x) e^{i \frac{2\pi m}{a} x} dx. \quad (9)$$

Es importante notar que vamos a calcular los elementos matriciales y las adimensionales (i.e. $h_{nm} = H_{nm}/E_{ISW}$, E_n^0/E_{ISW}). Ahora, para pasar a la formulación

de un potencial periódico, hay que tomar en cuenta nuevamente el teorema de Bloch, que se escribe:

$$\psi(x + a) = e^{iKa} \psi(x), \quad (10)$$

con la condición $Ka \in [-\pi, \pi]$. La introducción del teorema de Bloch lleva a que tengamos la condición de frontera $ka = 2\pi n + Ka$, por lo que la energía se modifica a

$$E_n^0 = E_{ISW} \left(2n + \frac{Ka}{\pi} \right)^2. \quad (11)$$

2.2. Bidimensional

Comenzamos por introducir una celda rectangular única de medidas a_x y a_y , con las condiciones periódicas:

$$\psi(x + a_x, y) = \psi(x, y) \quad (12)$$

$$\psi(x, y + a_y) = \psi(x, y). \quad (13)$$

Realizando un procedimiento de separación de variables, obtenemos los estados base de con la siguiente forma:

$$\psi_{n_x n_y}^0(x, y) = \frac{1}{\sqrt{a_x a_y}} e^{i \frac{2\pi n_x}{a_x} x + i \frac{2\pi n_y}{a_y} y} \text{ donde } n_x, n_y \in \mathbb{Z}. \quad (14)$$

Las energías propias del sistema son:

$$E_{n_x n_y}^0 = a \left[n_x^2 + n_y^2 \left(\frac{a_x^2}{a_y^2} \right) \right] E_{ISW} \quad (15)$$

$$= E_{n_x}^0 + E_{n_y}^0. \quad (16)$$

Donde definimos ahora $E_{ISW} = \frac{\pi^2 \hbar^2}{2m_0 a_x^2}$ como la energía unidad.

Dado esto, los elementos de la matriz hamiltoniana pueden ser calculados de la forma:

$$H_{n_x n_y, m_x m_y} = \left\langle \psi_{n_x n_y}^0 | (H_0 + V(x, y)) | \psi_{m_x m_y}^0 \right\rangle \quad (17)$$

$$= \delta_{n_x m_x} \delta_{n_y m_y} E_{n_x n_y}^0 + H_{n_x n_y, m_x m_y}^V \quad (18)$$

y explícitamente, tenemos:

$$H_{n_x n_y, m_x m_y}^V = \left\langle \psi_{n_x n_y}^0 | (V(x, y)) | \psi_{m_x m_y}^0 \right\rangle. \quad (19)$$

Ahora, para pasar a el potencial periódico que deseamos, imponemos la condición de Bloch y obetenemos la periodicidad:

$$\psi(x + a_x, y) = e^{iK_x a_x} \psi(x, y) \quad (20)$$

$$\psi(x, y + a_y) = e^{iK_y a_y} \psi(x, y). \quad (21)$$

Con esto, al igual que en el caso unidimensional, tenemos afecciones sólo en la parte cinética del hamiltoniano:

$$E_{n_x}^0 = E_{ISW} \left(2n_x + \frac{K_x a_x}{\pi} \right)^2 \quad (22)$$

$$E_{n_y}^0 = E_{ISW} \left(2n_y + \frac{K_y a_y}{\pi} \right)^2 \left(\frac{a_x^2}{a_y^2} \right) \quad (23)$$

$$(24)$$

3. Modelo Kronig-Penney en 2D

Trabajaremos ahora con el model de Kronig-Penney que consta de una celda unitaria y cuadrada de lado a , se tiene un cascarón con una profundidad V_0 ($v_0 = V_0/E_{ISW}$) de valor negativo. El pozo se extiende sobre q_1 y q_2 de forma que $0 \leq q_1 \leq q_2 \leq a$. Esto es:

$$V(x, y) = \begin{cases} V_0 & \text{para } q_1 < x < q_2 \text{ y } q_1 < y < q_2 \\ 0 & \text{todo lo demás} \end{cases} \quad (25)$$

De forma que no tengamos dimensiones de unidad, normalizamos todo como hasta el momento haciendo el cambio de variable $p_1 = q_1/a, p_2 = q_2/a$. Los elementos de la diagonal en este caso se calculan con:

$$H_{n_x n_y, m_x m_y}^V = \frac{V_0}{a^2} \int_{q_1}^{q_2} \int_{q_1}^{q_2} e^{i2\pi(m_x - n_x)x/a} e^{i2\pi(m_y - n_y)y/a} dx dy, \quad (26)$$

o lo podemos escribir en forma adimensional:

$$h_{n_x n_y, m_x m_y}^V = v_0 \int_{p_1}^{p_2} \int_{p_1}^{p_2} e^{i2\pi(m_x - n_x)x} e^{i2\pi(m_y - n_y)y} dx dy, \quad (27)$$

Resolviendo las integrales anteriores, obtenemos:

$$h_{n_x n_y, m_x m_y}^V = v_0 I(n_x, m_x) I(n_y, m_y), \quad (28)$$

donde,

$$I(n_j, m_j) = (p_2 - p_1) \delta_{n_j m_j} + i \frac{e^{i2\pi(m_j - n_j)p_1} - e^{i2\pi(m_j - n_j)p_2}}{2\pi(m_j - n_j)} (1 - \delta_{n_j m_j}). \quad (29)$$

donde $j = xy$. Es importante notar que los los elementos no cinéticos de la diagonal principal son $v_0(p_2 - p_1)^2$.

3.1. Límite del electrón aproximadamente libre

Este enfoque genera la llamada aproximación de red vacía con bandas parabólicas de electron libre, esto sucede cuanto $v_0 = 0$. Además, este método provee un esquema de codificación para las bandas de energía en términos de la base de estados elegida. Cuando v_0 tiene valore pequeños, se tiene casi un modelo de electrón libre, del cual una de sus principales características son las degeneracias donde los gaps de banda surgen, y las afiladas cuspides para $v_0 = 0$ se convierten en parabolos suaves, como se puede ver en las primeras las figura 1 (a). Además la fig.1(c) se muestra la estructura de banda para un pozo con una profundidad más grande , donde el gap de energía entre la banda baja y las otras bandas existen para todos los vectores de onda.

3.2. Límite del modelo de atadura fuerte

Por otro lado, se pueden tener pozos de potencial con una gran profundidad, en este caso se debe considerar el modelo de atadura fuerte. Para sistemas bidimensionales como una simetría cuadrada y con interacciones de primeros vecinos, las bandas de energía tienen la siguiente forma muy bien conocida

$$\mathbf{E}(\mathbf{K}_x, \mathbf{K}_y) = -2t [\cos(\mathbf{K}_x \mathbf{a}) + \cos(\mathbf{K}_y \mathbf{a})] \quad (30)$$

donde t es la llamada integral de salto y representa una probabilidad de amplitud para que un electrón tenga un tunelamiento al pozo vecino.

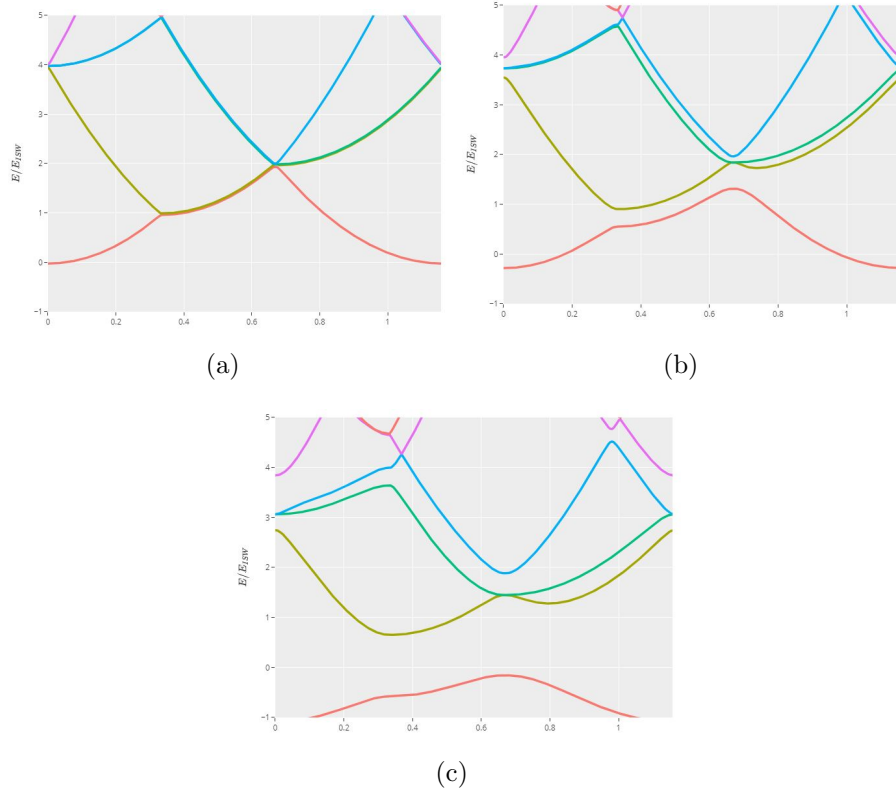
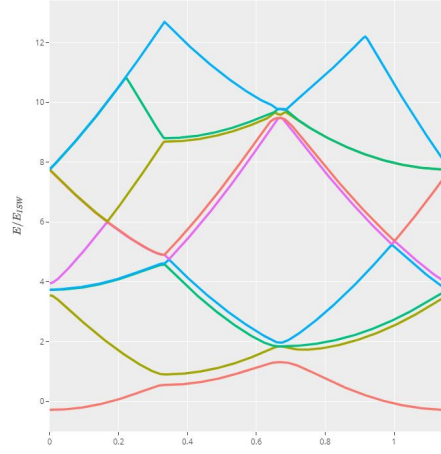


Figura 1: Modelo de kroning-Penney con distintas profundidades v del pozo (a) $v = -0.1$ (b) $v = -1$ (c) $v = -3$



(a)

Figura 2: Modelo de kroning-Penney con una profundidad del pozo $v = -1$ (Mostrando un rango mayor en el eje de la energía)

4. Potencial de molde para muffins

En está sección se presentan las estructuras de banda resultantes de utilizar el modelo de muffin, el cual es un potencial más realista. Pues los potenciales realistas surgen a través de fuerzas centrales. Como se mencionó anteriormente, el modelo de "Kroning Penney en 2D.^{es} una serie de pozos de potencial cuadrados repetidos en una red cuadrada. Por el otro lado, el modelo de "potencial muffin-tin.^{es} unos con pozos circulares. La matriz para el modelo queda definida de la siguiente manera, considerando $a_x = a_y = a$

$$H_{n_x n_y, m_x m_y}^V = \frac{V_0}{a^2} \int_{\frac{a}{2}-r}^{\frac{a}{2}+r} dx \int_{\frac{a}{2}-\sqrt{r^2-(x-\frac{a}{2})^2}}^{\frac{a}{2}+\sqrt{r^2-(x-\frac{a}{2})^2}} e^{i2\pi(m_x-n_x)x/a} e^{i2\pi(m_y-n_y)y/a} dy \quad (31)$$

Los limites de integracion vienen de la ecuación de un circulo con radio r centrado en $(x, y) = (a/2, a/2)$.

$$\left(x - \frac{a}{2}\right)^2 + \left(y - \frac{a}{2}\right)^2 = r^2. \quad (32)$$

Como antes, la profundidad del pozo es V_0 y típicamente tendrá un valor despreciable. Haciendo las siguientes sustituciones $x/a \rightarrow x, y/a \rightarrow y$, y definiendo $\bar{r} \equiv r/a$, we get

$$h_{n_x n_y, m_x m_y}^V = v_0 \int_{\frac{1}{2}-\bar{r}}^{\frac{1}{2}+\bar{r}} dx \int_{\frac{1}{2}-\sqrt{\bar{r}^2-(x-\frac{1}{2})^2}}^{\frac{1}{2}+\sqrt{\bar{r}^2-(x-\frac{1}{2})^2}} dy e^{i2\pi(m_x-n_x)x} e^{i2\pi(m_y-n_y)y} \quad (33)$$

La integral anterior fue resuelta numéricamente para poder armar la matriz, dicho proceso está mostrado en el código de Python presentado en los apéndices. Una vez armada la integral, los procesos numéricos eran exactamente iguales a los del modelo

anterior, de está manera se generaron las estructuras de banda para el modelo de moffin mostradas en la fig.3-4

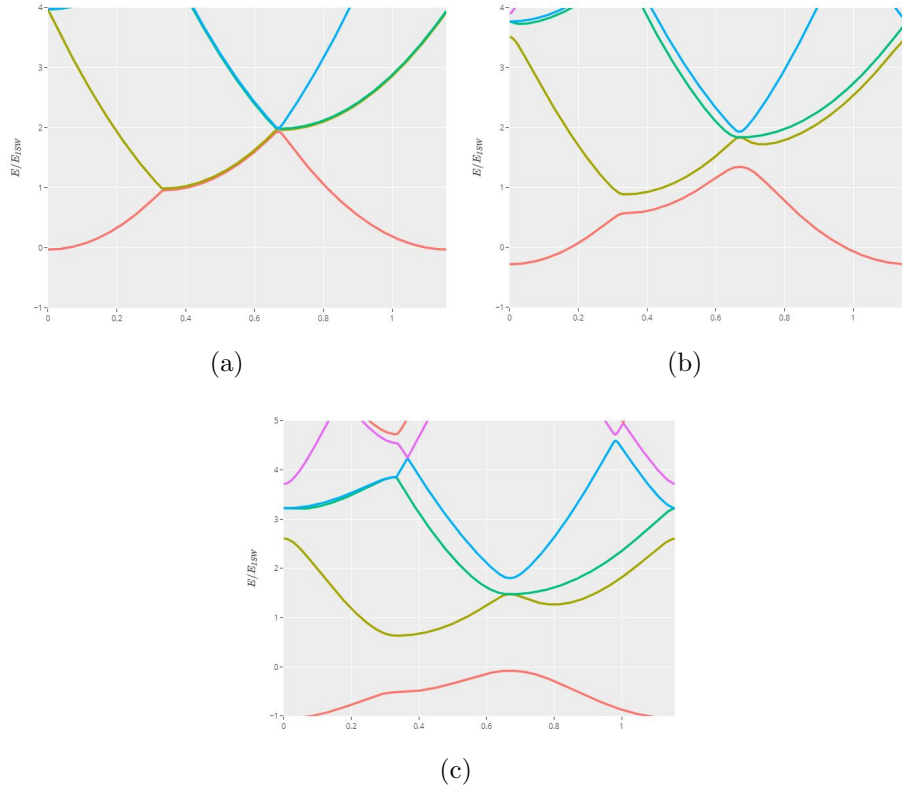


Figura 3: Modelo de muffin con distintas profundidades v del pozo (a) $v = -0.1$ (b) $v = -1$ (c) $v = -3$

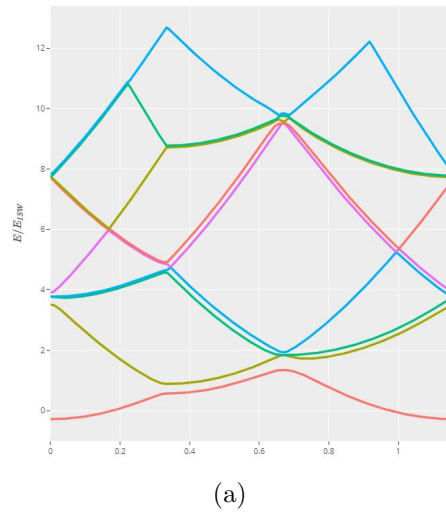


Figura 4: Modelo de muffin con una profundidad del pozo $v = -1$ (Mostanto un rango mayor en el eje de energía)

5. Conclusiones

Como se vio anteriormente, logramos reproducir los resultados mostrados por Pavelich y Masiglio presentados en su artículo *Calculation of 2D electronic band structure using matrix mechanics*. Dichos resultados parecen muy similares a simple vista, pues tienen variaciones muy pequeñas. Entonces, se mostró que el modelo de "Kroning-Penney 2D" se aproxima bastante bien a modelos más realistas como el modelo de "moffin". Ambos modelos fueron similares a la hora de la implementación numérica, a excepción de definir la matriz $h_{n_x n_y, m_x m_y}^V$. Ya que para el modelo de moffin fue necesario resolver una integral doble numéricamente de forma iterativa para llenar la matriz con todos sus elementos. Este trabajo se puede extender considerando los potenciales Gaussianos, una reproducción de resultados que podría llevarse a cabo en futuros proyectos.

6. Referencias

- [1] R. Pavelich and F. Marsiglio, "Calculation of 2d electronic band structure using matrix mechanics," *American Journal of Physics*, vol. 84, 02 2016.
- [2] M. H. R. Jamie H. Warner, Franziska Schäffel and A. Bachmatiuk, "Graphene fundamentals and emergent applications," *Elsevier Inc.*, 2013.

Apéndice A: Código para las gráficas de las bandas de energía

```

1  # -*- coding: utf-8 -*-
2  """Bands.ipynb
3
4  Automatically generated by Colaboratory.
5
6  Original file is located at
7      https://colab.research.google.com/drive/1
8      NTGRseePmGlswtKTczHR2VPiXVqTeYUs
9  """
10 # Importación de Librerías
11 import numpy as np
12 import pandas as pd
13 from scipy import io, integrate, linalg, signal
14 from scipy.sparse.linalg import eigs
15 import math
16 import matplotlib
17 import plotly.graph_objects as go
18 import plotly.express as px
19 import plotly.io as pio
20
21 #pio.templates.default = "ggplot2"
22
23 # Definición de la función para potenciales cuadrados
24 # Modelo de Kronig-Penney
25 def Periodic_Potential(N,V_0,p_1,p_2):
26     #Generación primaria de los enteros
27     jj = np.arange(N+1)+1
28     # Re-escritura de los enteros
29     # Método descrito en el paper
30     a = (1+(2*jj-1)*(-1)**jj)/4
31
32     # Generación de combinaciones con meshgrid
33     p, q = np.meshgrid(a,a)
34
35     n = np.concatenate((q.reshape(len(a)**2, 1),p.reshape(len(a)**2, 1))
36         ,axis = 1)
37
38     nx = n[:,0]
39     ny = n[:,1]
40
41     # Incremento de codificar energía
42     nSqr = np.zeros(((N+1)*(N+1),1))
43     n = np.concatenate((nSqr,n),axis = 1)
44
45     n[:,0] = n[:,1]*n[:,1] + n[:,2]*n[:,2];
46
47     index = np.argsort(n[:,0], kind="mergesort")
48
49     n = n[index,:]
50     nx = n[:,1]
51     ny = n[:,2]

```

```

51 n2 = n[:,0]
52 # Definición de la diagonal del Hamiltoniano
53 p = p_2 - p_1
54 h = np.diag(4*n2+V_0*p*p)
55
56 # Precálculo de los elementos fuera de la diagonal
57 No_diag = np.zeros((2*N+1))
58 for ii in range(2*N+1):
59     if ii == N:
60         No_diag[ii] = np.nan
61     else:
62         No_diag[ii] = 1/(2*np.pi*1j*(ii-N))*(-np.exp(1j*2*np.pi*(ii-N)*
63             p_1) + np.exp(1j*2*np.pi*(ii-N)*p_2))
64 # Cálculo de los elementos fuera de la diagonal
65 II = 0
66 JJ = 0
67 for kk in range((N+1)*(N+1)):
68     for ll in range(kk+1,(N+1)**2):
69         if nx[kk] == nx[ll]:
70             II = p;
71         else:
72             II = No_diag[int(nx[kk]-nx[ll])+N+1-1]
73
74         if ny[kk] == ny[ll]:
75             JJ = p;
76         else:
77             JJ = No_diag[int(ny[kk]-ny[ll])+N+1-1]
78         h[kk,ll] = h[kk,ll] + V_0*II*JJ
79 h = h + np.transpose(np.triu(h,k=1))
80
81 return h
82
83 def muffinPotential(N,V_0,p_1,p_2):
84     #Generación primaria de los enteros
85     jj = np.arange(N+1)+1
86     # Re-escritura de los enteros
87     # Método descrito en el paper
88     a = (1+(2*jj-1)*(-1)**jj)/4
89
90     # Generación de combinaciones con meshgrid
91     p, q = np.meshgrid(a,a)
92
93     n = np.concatenate((q.reshape(len(a)**2, 1),p.reshape(len(a)**2, 1)),
94         ,axis = 1)
95
96     nx = n[:,0]
97     ny = n[:,1]
98
99     # Incremento de codificar energía
100     nSqr = np.zeros(((N+1)*(N+1),1))
101     n = np.concatenate((nSqr,n),axis = 1)
102
103     n[:,0] = n[:,1]*n[:,1] + n[:,2]*n[:,2];

```

```

103 index = np.argsort(n[:,0], kind="mergesort")
104
105 n = n[index,:]
106 nx = n[:,1]
107 ny = n[:,2]
108 n2 = n[:,0]
109
110 # Definición de la diagonal del Hamiltoniano
111 p = p_2 - p_1
112 h = np.diag(4*n2+V_0*p*p)
113
114 # Número de puntos para el rango de integración
115 pointsInt = 100
116 L = 1
117 # Definición de los vectores para integrar
118 x = np.linspace(0,L,pointsInt)
119 y = x.copy()
120 # Mesh para zona de integración
121 X, Y = np.meshgrid(x,y)
122 area = np.zeros((pointsInt,pointsInt))
123 # Radio del círculo de la zona de integración
124 R = p/2
125
126 # En el círculo de integración, se colocan 1s,
127 # fuera del círculo se quedan los 0s
128 for ii in range(len(x)):
129     for jj in range(len(y)):
130         r = np.sqrt((x[ii]-L/2)**2+(y[jj]-L/2)**2)
131         if r < R:
132             area[ii,jj] = 1
133
134 #fig = go.Figure(data=[
135 # go.Surface(z=area,x = x, y=y),
136 # ])
137 #fig.show()
138 # Cálculo de los elementos del hamiltoniano
139 for kk in range((N+1)*(N+1)):
140     for ll in range(kk+1,(N+1)**2):
141         # Función a integrar
142         F = np.exp(1j*2*np.pi*(nx[kk]-nx[ll])*X)*np.exp(1j*2*np.pi*(ny[
143         kk]-ny[ll])*Y)
144         # Convertir los valores fuera de la región a 0
145         F = np.real(F)*area
146         # Integración
147         element = np.trapz(np.trapz(F, y, axis=0), x, axis=0)
148         h[kk,ll] = element*V_0
149 # Relleno de la matriz triangular
150 h = h + np.transpose(np.triu(h,k=1))
151 return h
152
153 # Definición de constantes importantes
154 Nest = 5 # Nnumero de estados
155 v0 = 0 #Profundidad del pozo
156 P1 = 0.25 #Inicio del pozo

```

```

156 P2 = 0.75 #Final del pozo
157 repetition = 100 #Número de iteraciones
158
159 E = np.zeros((repetition+1,repetition+1,(Nest+1)**2)) #Iniciación
    Energías
160
161 # Se descomenta la función a usar según el modelo deseado,
162 # Kronig-Penney o Muffin:
163
164 #dimLessHam = Periodic_Potential(Nest,v0,P1,P2)
165 dimLessHam = muffinPotential(Nest,v0,P1,P2)
166
167 jj = np.arange(Nest+1)+1
168
169 # Re-escritura de los enteros
170 # Método descrito en el paper
171 a = (1+(2*jj-1)*(-1)**jj)/4
172
173 # Generación de combinaciones con meshgrid
174 p, q = np.meshgrid(a,a)
175
176 n = np.concatenate((q.reshape(len(a)**2, 1),p.reshape(len(a)**2, 1)),
    axis = 1)
177
178 nx = n[:,0]
179 ny = n[:,1]
180
181 # Incremento de codificar energía
182 nSqr = np.zeros(((Nest+1)*(Nest+1),1))
183 n = np.concatenate((nSqr,n),axis = 1)
184
185 n[:,0] = n[:,1]*n[:,1] + n[:,2]*n[:,2];
186
187 index = np.argsort(n[:,0], kind="mergesort")
188
189 n = n[index,:]
190 nx = n[:,1]
191 ny = n[:,2]
192 n2 = n[:,0]
193
194 # Definición de los vectores kx, ky
195 kx = np.arange(0,np.pi+np.pi/repetition,np.pi/repetition)
196 ky = kx.copy()
197
198 # Paámetro para indexar la matriz
199 m = np.arange((Nest+1)**2)
200
201 # Cálculo de los elementos de Bloch
202 # Para metrizando de Gamma a X'
203 for ii in range(repetition+1):
204     bloch = (4/np.pi)*(nx[m]*kx[0]+ny[m]*ky[ii])+(kx[0]*kx[0]+ky[ii]*ky[
        ii])/(np.pi**2)
205
206     eigValues, eigVectors = np.linalg.eig(dimLessHam+np.diag(bloch,k =

```

```

    0))
207 eig_or = np.sort(eigValues, kind="mergesort")
208 E[0,ii,:] = eig_or
209
210 # Cálculo de los elementos de Bloch
211 # Para metrizando de X' a M
212 for ii in range(repetition+1):
213     bloch = (4/np.pi)*(nx[m]*kx[ii]+ny[m]*ky[repetition])+(kx[ii]*kx[ii]
214     +ky[repetition]*ky[repetition])/(np.pi**2)
215     eigValues, eigVectors = np.linalg.eig(dimLessHam+np.diag(bloch,k =
216     0))
217     eig_or = np.sort(eigValues, kind="mergesort")
218     E[ii,ii,:] = eig_or
219
220 # Cálculo de los elementos de Bloch
221 # Para metrizando de M a Gamma
222 for ii in range(repetition,-1,-1):
223     bloch = (4/np.pi)*(nx[m]*kx[ii]+ny[m]*ky[ii])+(kx[ii]*kx[ii]+ky[ii]*
224     ky[ii])/(np.pi**2)
225     eigValues, eigVectors = np.linalg.eig(dimLessHam+np.diag(bloch,k =
226     0))
227     eig_or = np.sort(eigValues, kind="mergesort")
228     E[ii,ii,:] = eig_or
229
230 # Energías para graficar
231 En2Plot = np.zeros((3*repetition,(Nest+1)**2))
232 K = np.arange(0,1+1/(3*repetition),1/(3*repetition))
233
234 # Se agrega un término de escala (sqrt(2))
235 K1 = K[0:2*repetition]
236 K2 = K[2*repetition+1:]
237 K = np.concatenate((K1,K2+np.sqrt(2)*(1/3)*(K2-(2/3))),axis = 0)
238
239 # Llenado de las energías para graficar
240 for ii in range(repetition):
241     En2Plot[ii,:] = E[0,ii,:]
242     En2Plot[ii+repetition,:] = E[ii,ii,:]
243     En2Plot[ii+2*repetition,:] = E[repetition-ii,ii,:] #Dudas
244
245 # Grafica de las bandas de energía
246 fig = px.line(x=K, y=En2Plot[:,0], labels={'x': "", 'y': '$E/E_{ISW}$'
247     }) # override keyword names with labels
248 for i in range(8):
249     fig.add_trace(go.Scatter(mode = "lines", x = K, y = En2Plot[:,i+1]))
250     fig.update_layout(width = 500, height = 400)
251     fig.update_traces(line = dict(width = 3.5))
252     fig.update_yaxes(range = [-1,5])
253     fig.update_xaxes(range = [0,1.1571])
254 fig.show()

```

Listing 1: Código en Python: Curvas de bandas de energía.